

4 Metode de identificare și validare

4.9 Metode adaptive de identificare

MCMMMP-R – variante cu fereastră: MCMMMP-R□ (continuare)

$$\text{F} \quad \hat{\theta}_k = \hat{\theta}_{k-1} - P_k \varphi[k-M] \left(y[k-M] - \varphi^T[k-M] \hat{\theta}_{k-1} \right) + P_k \varphi[k] \left(y[k] - \varphi^T[k] \hat{\theta}_{k-1} \right) \quad \forall k \geq M+1$$

- De asemenea, erorile de predicție sunt ponderate de **două ciștiguri de senzitivitate**:

$$\gamma_{b,k-M} \stackrel{\text{def}}{=} P_k \varphi[k-M] \rightarrow \text{Ciștig de sensibilitate a priori.}$$

$$\gamma_{f,k} \stackrel{\text{def}}{=} P_k \varphi[k] \rightarrow \text{Ciștig de sensibilitate a posteriori.}$$

$$\text{F} \quad P_k^{-1} = P_{k-1}^{-1} - \varphi[k-M] \varphi^T[k-M] + \varphi[k] \varphi^T[k] \quad \forall k \geq M+1$$

$P_{b,k-M}^{-1}$ (notație naturală)

$$\hat{\theta}_k = \hat{\theta}_{k-1} - \gamma_{b,k-M} \varepsilon_b[k-M] + \gamma_{f,k} \varepsilon_f[k] \quad \forall k \geq M+1$$

Cum poate fi optimizată relația recursivă?

Prin aplicarea succesivă, **de două ori**, a lemei de inversare matricială.



① Lema 1

$$\text{F} \quad P_{b,k-M} \stackrel{\text{def}}{=} \left(P_{k-1}^{-1} - \varphi[k-M] \varphi^T[k-M] \right)^{-1} = P_{k-1}^{-1} + \frac{P_{k-1} \varphi[k-M] \varphi^T[k-M] P_{k-1}}{1 - \varphi^T[k-M] P_{k-1} \varphi[k-M]} \quad \forall k \geq M+1$$

② Lema 1

$$\text{F} \quad P_k = \left(P_{b,k-M}^{-1} + \varphi[k] \varphi^T[k] \right)^{-1} = P_{b,k-M}^{-1} - \frac{P_{b,k-M} \varphi[k] \varphi^T[k] P_{b,k-M}}{1 + \varphi^T[k] P_{b,k-M} \varphi[k]} \quad \forall k \geq M+1$$

4 Metode de identificare și validare

4.9 Metode adaptive de identificare

MCMMMP-R – variante cu fereastră: MCMMMP-R□ (continuare)

Mai mult

$$\gamma_{f,k} \stackrel{\text{def}}{=} \mathbf{P}_k \boldsymbol{\varphi}[k] = \mathbf{P}_{b,k-M} \boldsymbol{\varphi}[k] - \frac{\mathbf{P}_{b,k-M} \boldsymbol{\varphi}[k] \boldsymbol{\varphi}^T[k] \mathbf{P}_{b,k-M} \boldsymbol{\varphi}[k]}{1 + \boldsymbol{\varphi}^T[k] \mathbf{P}_{b,k-M} \boldsymbol{\varphi}[k]}$$

se aduce la același numitor

Lema 1

$$\mathbf{P}_k = \mathbf{P}_{b,k-M} - \frac{\mathbf{P}_{b,k-M} \boldsymbol{\varphi}[k] \boldsymbol{\varphi}^T[k] \mathbf{P}_{b,k-M}}{1 + \boldsymbol{\varphi}^T[k] \mathbf{P}_{b,k-M} \boldsymbol{\varphi}[k]}$$

$$= \frac{\mathbf{P}_{b,k-M} \boldsymbol{\varphi}[k] + \mathbf{P}_{b,k-M} \boldsymbol{\varphi}[k] \boldsymbol{\varphi}^T[k] \mathbf{P}_{b,k-M} \boldsymbol{\varphi}[k] - \mathbf{P}_{b,k-M} \boldsymbol{\varphi}[k] \boldsymbol{\varphi}^T[k] \mathbf{P}_{b,k-M} \boldsymbol{\varphi}[k]}{1 + \boldsymbol{\varphi}^T[k] \mathbf{P}_{b,k-M} \boldsymbol{\varphi}[k]} =$$

$$= \frac{\mathbf{P}_{b,k-M} \boldsymbol{\varphi}[k]}{1 + \boldsymbol{\varphi}^T[k] \mathbf{P}_{b,k-M} \boldsymbol{\varphi}[k]}, \quad \forall k \geq M+1.$$

⇒ Pentru cel de-al doilea cîştig, ar trebui evaluată:

$$\mathbf{P}_{f,k} \stackrel{\text{def}}{=} (\mathbf{P}_{k-1}^{-1} + \boldsymbol{\varphi}[k] \boldsymbol{\varphi}^T[k])^{-1}$$

Algoritmul adaptiv al Celor Mai Mici Pătrate cu fereastră dreptunghiulară



Date de intrare

$M \geq 1$ (deschiderea ferestrei dreptunghiulare)

$$\mathcal{D}_M = \{\boldsymbol{\varphi}[n]\}_{n \in \overline{1,M}} \cup \{y[n]\}_{n \in \overline{1,M}}$$

(un set de date măsurate a priori pe durata ferestrei)

$n\theta$ (indicele structural al modelului de identificare)



Inițializare

MCMMMP off-line

$$\hat{\boldsymbol{\theta}}_M = \left(\sum_{n=1}^M \boldsymbol{\varphi}[n] \boldsymbol{\varphi}^T[n] \right)^{-1} \left(\sum_{n=1}^M \boldsymbol{\varphi}[n] y[n] \right)$$

$$\mathbf{P}_M$$

$k = 0$ → indicele iterativ inițial

4 Metode de identificare și validare

4.9 Metode adaptive de identificare

Algoritmul adaptiv al Celor Mai Mici Pătrate cu fereastră dreptunghiulară (continuare)

Bucă iterativă

① Pentru $k \geq M + 1$

① Se evaluatează erorile de predicție curente:

$$\varepsilon_b[k - M] = y[k - M] - \phi^T[k - M] \hat{\theta}_{k-1} \quad (\text{a priori})$$

$$\varepsilon_f[k] = y[k] - \phi^T[k] \hat{\theta}_{k-1} \quad (\text{a posteriori})$$

② Se evaluatează vectorul auxiliar: $\xi_k = \mathbf{P}_{k-1} \phi[k - M]$

③ Se evaluatează matricea: $\mathbf{P}_{b,k-M} = \mathbf{P}_{k-1} + \frac{\xi_k \xi_k^T}{1 - \phi^T[k - M] \xi_k}$

Exercițiu MVI-R□

(deducerea relațiilor recursive, algoritmul eficient, inițializare)

④ Se reactualizează vectorul auxiliar: $\xi_k = \mathbf{P}_{b,k-M} \phi[k]$

⑤ Se evaluatează cîștigul de senzitivitate a posteriori: $\gamma_{f,k} = \frac{\xi_k}{1 + \phi^T[k] \xi_k}$

⑥ Se reactualizează matricea de auto-covarianță a erorii de estimare: $\mathbf{P}_k = \mathbf{P}_{b,k-M} - \gamma_{f,k} \xi_k^T$

⑦ Se evaluatează cîștigul de senzitivitate a priori: $\gamma_{b,k-M} = \mathbf{P}_k \phi[k - M]$

⑧ Se reactualizează vectorul parametrilor estimați: $\hat{\theta}_k = \hat{\theta}_{k-1} - \gamma_{b,k-M} \varepsilon_f[k - M] + \gamma_{f,k} \varepsilon_f[k]$

⑨ Se incrementează indicele curent: $k \leftarrow k + 1$



Date de ieșire

$$\{\hat{\theta}_k\}_{k \in \mathbb{N}}$$

Parametrii modelului reactualizați la fiecare pas de adaptare.

Complexitatea algoritmului este ridicată.

4 Metode de identificare și validare

4.9 Metode adaptive de identificare

MCMMMP-R bazată pe descompunerea QR (MCMMPQR-R)

- Exploatarea MCMMMP în unele aplicații **necesită o mare stabilitate numerică**.

Ori

$$\overset{\text{def}}{=} \mathbf{R} = \Phi^T \Phi = [\phi[1] \mid \phi[2] \mid \cdots \mid \phi[N]] \begin{bmatrix} \phi^T[1] \\ \phi^T[2] \\ \vdots \\ \phi^T[N] \end{bmatrix} = \sum_{n=1}^N \phi[n] \phi^T[n] \in \mathbb{R}^{n\theta \times n\theta}$$

↓ Care se inversează.

⊗ Este dezechilibrată numeric.

Dezechilibrată numeric?



Raportul dintre valorile singulare maximă și minimă este prea mare.

Numărul de condiționare numerică

$$\nu(\Phi) = \frac{\sigma_{\max}}{\sigma_{\min}}$$

Valorile singulare ale unei matrici A

Dezechilibrarea numerică a unei matrici inversabile conduce la erori numerice importante ale inversei (și chiar la imposibilitatea evaluării acesteia pe un mijloc automat de calcul).

Exemplu

Matricea modelului
polinomial al datelor de ieșire

$$y[n] = a_0 + a_1 n + a_2 n^2 + \cdots + a_p n^p + \varepsilon[n, a_0, \dots, a_p]$$

Exercițiu

$$\mathbf{R}_N = \begin{bmatrix} N & \frac{N(N+1)}{2} & \cdots & \sum_{n=1}^N n^p \\ \frac{N(N+1)}{2} & \frac{N(N+1)(2N+1)}{6} & \cdots & \sum_{n=1}^N n^{p+1} \\ \vdots & \vdots & \ddots & \vdots \\ \sum_{n=1}^N n^p & \sum_{n=1}^N n^{p+1} & \cdots & \sum_{n=1}^N n^{2p} \end{bmatrix} \sim N^{2p+1} \gg N$$

↓ Valorile singulare ale matricii Φ sunt valorile proprii ale matricii R.

4 Metode de identificare și validare

4.9 Metode adaptive de identificare

MCMMP-R bazată pe descompunerea QR (continuare)



Ce se poate face?

De regulă, matricile dezechilibrate numeric pot fi inverseate după aplicarea unei **tehnici de balansare** (din domeniul **Metodelor Numerice**).

Exemplul precedent

Matricea modelului polinomial al datelor de ieșire

$$R_N = \begin{bmatrix} N & \frac{N(N+1)}{2} & \dots & \sum_{n=1}^N n^p \\ \frac{N(N+1)}{2} & \frac{N(N+1)(2N+1)}{6} & \dots & \sum_{n=1}^N n^{p+1} \\ \vdots & \vdots & \ddots & \vdots \\ \sum_{n=1}^N n^p & \sum_{n=1}^N n^{p+1} & \dots & \sum_{n=1}^N n^{2p} \end{bmatrix}$$

- În loc să se inverseze această matrice, se inversează matricea **balansată (echilibrată numeric)**:


 $B_N R_N B_N$
balancing matrix

$$B_N \stackrel{\text{def}}{=} \begin{bmatrix} \frac{1}{\sqrt{N}} & 0 & \dots & 0 \\ 0 & \frac{1}{N\sqrt{N}} & \dots & 0 \\ \vdots & \vdots & \ddots & \vdots \\ 0 & 0 & \dots & \frac{1}{N^p\sqrt{N}} \end{bmatrix}$$

Exercițiu de simulare

- Folosind mediul de simulare **MATLAB**, evaluați inversele celor două matrici din exemplu (nebalansată și balansată) pentru cîteva valori ale gradului polinomului modelului, apoi verificați corectitudinea rezultatelor și evaluați numerele de condiționare numerică prin apelarea funcției de bibliotecă numită **cond**.

Matrice diagonală.

Prin echilibrare numerică,
rezultatul final nu se modifică.

$$R_N^{-1} = B_N (B_N R_N B_N)^{-1} B_N$$

Matricea de balansare
nu trebuie inversată.

4 Metode de identificare și validare

4.9 Metode adaptive de identificare

MCMMP-R bazată pe descompunerea QR (continuare)



Cele mai "bune" matrici pentru inversare au numărul de condiționare numerică **unitar**.

- Cu cât numărul de condiționare numerică este mai mare, cu atât matricea este mai dezechilibrată numeric, iar inversa este mai eronată, în absența unei tehnici de balansare.

⊗ În general, construcția unei matrici de balansare nu este simplă.

Și atunci?...



Pentru matricile simetrice (strict) pozitiv definite dezechilibrate numeric (cum este R_N), o tehnică de balansare se bazează pe **descompunerea QR a acestora**, cu ajutorul **matricilor de rotație** (care au numărul de condiționare numerică unitar).

Proprietăți remarcabile din Teoria Matricilor

→ Triangularizarea unei matrici monice

$$\begin{array}{c} Q^T A = \begin{bmatrix} R \\ 0 \end{bmatrix} \\ \text{matrice ortogonală} \quad \text{matrice superior triunghiulară} \end{array}$$
$$Q^T Q = Q Q^T = I_m$$

→ Invarianța normei euclidiene la transformări ortogonale

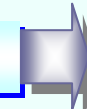
$$\|Qv\|^2 = v^T Q^T Q v = v^T v = \|v\|^2 \quad \forall v \in \mathbb{R}^m$$

- Existența matricii ortogonale din prima proprietate se poate demonstra cu ajutorul unui raționament constructiv, în care **matricile de rotație** joacă rolul principal.



Anularea succesivă a elementelor sub-diagonale ale matricii monice cu ajutorul **operatorilor Givens**.

Operator Givens



Matrice elementară de rotație.

Exemplu

$$G = \begin{bmatrix} \cos \alpha & \sin \alpha \\ -\sin \alpha & \cos \alpha \end{bmatrix}$$

unghi de rotație
244

4 Metode de identificare și validare

4.9 Metode adaptive de identificare

MCMMP-R bazată pe descompunerea QR (continuare)

Exemplu

Anularea elementului sub-diagonal al unei matrici de ordin 2

$$\mathbf{A} \stackrel{\text{def}}{=} \begin{bmatrix} a_{11} & a_{12} \\ a_{21} & a_{22} \end{bmatrix}$$

$$\begin{bmatrix} \cos \alpha_{21} & \sin \alpha_{21} \\ -\sin \alpha_{21} & \cos \alpha_{21} \end{bmatrix} \xrightarrow{\mathbf{G}_{21}} \begin{bmatrix} \mathbf{A} \\ \mathbf{R}_{21} \end{bmatrix} = \begin{bmatrix} a_{11} & a_{12} \\ a_{21} & a_{22} \end{bmatrix} = \begin{bmatrix} r_{11}^{21} & r_{12}^{21} \\ 0 & r_{22}^{21} \end{bmatrix}$$

$$\begin{cases} a_{11} \cos \alpha_{21} + a_{21} \sin \alpha_{21} = r_{11}^{21} \\ a_{12} \cos \alpha_{21} + a_{22} \sin \alpha_{21} = r_{12}^{21} \\ a_{21} \cos \alpha_{21} - a_{11} \sin \alpha_{21} = 0 \\ a_{22} \cos \alpha_{21} - a_{12} \sin \alpha_{21} = r_{22}^{21} \end{cases}$$

$$\alpha_{21} = \text{atan} 2 \left(\frac{a_{21}}{a_{11}} \right)$$

- Ecuăția care conduce la determinarea unghiului de rotație aferent este a treia.
- Celelalte ecuații oferă valorile matricii triunghiulare rezultate.
- Calculul se simplifică, prin **determinarea directă** a elementelor operatorului Givens.

$$\mathbf{G}_{21} \stackrel{\text{def}}{=} \begin{bmatrix} \cos \alpha_{21} & \sin \alpha_{21} \\ -\sin \alpha_{21} & \cos \alpha_{21} \end{bmatrix} = \begin{bmatrix} c_{21} & s_{21} \\ -s_{21} & c_{21} \end{bmatrix} = \frac{1}{\sqrt{a_{11}^2 + a_{21}^2}} \begin{bmatrix} a_{11} & a_{21} \\ -a_{21} & a_{11} \end{bmatrix}$$

⇒ Se evită utilizarea funcțiilor trigonometrice.

notație preluată din Robotică

$$s_{ij} \stackrel{\text{def}}{=} \sin \alpha_{ij} \quad c_{ij} \stackrel{\text{def}}{=} \cos \alpha_{ij}$$

- În cazul unei matrici monice oarecare, operatorul Givens care anulează primul element sub-diagonal se obține din \mathbf{G}_{21} prin extinderea cu matricea unitate, fără a recalcula elementele acestuia.

$$\mathbf{G}_2 \stackrel{\text{def}}{=} \begin{bmatrix} \mathbf{G}_{21} & \mathbf{0} \\ \mathbf{0} & \mathbf{I}_{m-2} \end{bmatrix}$$

4 Metode de identificare și validare

4.9 Metode adaptive de identificare

MCMMP-R bazată pe descompunerea QR (continuare)

Așadar

$$G_2 A = \begin{bmatrix} R_2 \\ \vdots \\ A_2 \end{bmatrix} \rightarrow [R_{21} \ B_2] \quad \text{↓ Epică.}$$

ultimele $m-2$ linii ale matricii A

Cum se pot anula primele 2 elemente ale lui A_2 ?

Prin intermediul a 2 operatori Givens, a căror topologie este determinată de pozițiile celor 2 elemente.



$$G_{31} \stackrel{\text{def}}{=} \begin{bmatrix} c_{31} & 0 & s_{31} \\ 0 & 1 & 0 \\ -s_{31} & 0 & c_{31} \end{bmatrix} = \frac{1}{\sqrt{(r_{11}^{21})^2 + a_{31}^2}} \begin{bmatrix} r_{11}^{21} & 0 & a_{31} \\ 0 & 1 & 0 \\ -a_{31} & 0 & r_{11}^{21} \end{bmatrix} \Rightarrow G_3^1 \stackrel{\text{def}}{=} \begin{bmatrix} G_{31} & \mathbf{0} \\ \mathbf{0} & I_{m-3} \end{bmatrix} \quad G_3^1(G_2 A) = \begin{bmatrix} R_{31} \\ \vdots \\ A_3 \end{bmatrix}$$

Acesta trebuie acum anulat. ↪

$$r_{32}^{31}$$

↓ Elementul din poziția 32 nu este neapărat nul și nici egal cu a_{32} .

$$G_{32} \stackrel{\text{def}}{=} \begin{bmatrix} 1 & 0 & 0 \\ 0 & c_{32} & s_{32} \\ 0 & -s_{32} & c_{32} \end{bmatrix} = \frac{1}{\sqrt{(r_{22}^{31})^2 + (r_{32}^{31})^2}} \begin{bmatrix} 1 & 0 & 0 \\ 0 & r_{22}^{31} & r_{32}^{31} \\ 0 & -r_{32}^{31} & r_{22}^{31} \end{bmatrix}$$

$$G_3 = G_3^2 G_3^1$$

$$G_3^2 \stackrel{\text{def}}{=} \begin{bmatrix} G_{32} & \mathbf{0} \\ \mathbf{0} & I_{m-3} \end{bmatrix} \Rightarrow G_3^2(G_3^1 G_2 A) = \begin{bmatrix} R_3 \\ \vdots \\ A_3 \end{bmatrix}$$

epică, superior triunghiulară
ultimele $m-3$ linii ale matricii A

Operatorul care anulează următoarele 2 elemente sub-diagonale ale matricii.

4 Metode de identificare și validare

4.9 Metode adaptive de identificare

MCMMP-R bazată pe descompunerea QR (continuare)

În general

$$\mathbf{G}_i = \mathbf{G}_i^{i-1} \cdots \boxed{\mathbf{G}_i^j} \cdots \mathbf{G}_i^2 \mathbf{G}_i^1$$

Anulează elementele sub-diagonale ale matricii originale, de pe linia i .

**Operator Givens
compozit**

**Operatorul ortogonal
de triangularizare**

$$\mathbf{Q} = \mathbf{G}_m \mathbf{G}_{m-1} \cdots \mathbf{G}_3 \mathbf{G}_2$$

↳ Ortogonal, deoarece este format dintr-un produs de matrici de rotație elementare.

Exercițiu

- Să se determine numărul de operatori Givens elementari care formează operatorul ortogonal de triangularizare.

Așadar

$$\mathbf{G}_m \mathbf{G}_{m-1} \cdots \mathbf{G}_3 \mathbf{G}_2 \mathbf{A} = \boxed{\mathbf{R}}$$

monică, superior
triunghiulară

$\forall i \in \overline{2, m}$

$$\mathbf{G}_i^j \stackrel{\text{def}}{=} \begin{bmatrix} \mathbf{I}_{j-1} & \mathbf{0} & \mathbf{0} & \cdots & \mathbf{0} & \mathbf{0} & \mathbf{0} \\ \mathbf{0} & c_{ij} & 0 & \cdots & 0 & s_{ij} & 0 \\ \mathbf{0} & 0 & 1 & \cdots & 0 & 0 & 0 \\ \vdots & \vdots & \vdots & \ddots & \vdots & \vdots & \vdots \\ \mathbf{0} & 0 & 0 & \cdots & 1 & 0 & 0 \\ \mathbf{0} & -s_{ij} & 0 & \cdots & 0 & c_{ij} & 0 \\ \mathbf{0} & 0 & 0 & \cdots & 0 & 0 & \mathbf{I}_{i-1} \end{bmatrix} \quad \begin{array}{l} \leftarrow \text{poziția } j \\ \in \mathbb{R}^{m \times m} \\ \leftarrow \text{poziția } i \end{array}$$

$\forall j \in \overline{1, i-1}$

Mai mult

Acum acest operator Givens elementar modifică doar liniile i și j ale matricii originale.

$$\left\{ \begin{array}{l} \text{lin}_i (\mathbf{G}_i^j \mathbf{A}) = c_{ij} \text{lin}_i (\mathbf{A}) - s_{ij} \text{lin}_j (\mathbf{A}) \\ \text{lin}_j (\mathbf{G}_i^j \mathbf{A}) = c_{ij} \text{lin}_j (\mathbf{A}) + s_{ij} \text{lin}_i (\mathbf{A}) \end{array} \right.$$

↳ Elementele deja anulate rămân nule și după aplicarea oricărui operator Givens elementar.

4 Metode de identificare și validare

4.9 Metode adaptive de identificare

MCMMP-R bazată pe descompunerea QR (continuare)

- Folosind **descompunerea QR a matricii regresorilor**, criteriul pătratic din contextul modelelor de regresie liniară poate fi minimizat printr-o tehnică specială, **stabilă din punct de vedere numeric**.

invarianța normei euclidiene la transformări ortogonale

$$Y = Q\Phi\theta \quad \text{where } Q = G_m G_{m-1} \cdots G_3 G_2$$

$$\mathcal{V}(\theta) \stackrel{\text{def}}{=} \|\varepsilon(\theta)\|^2 = \|Y - \Phi\theta\|^2 = \|Q(Y - \Phi\theta)\|^2$$

Minimizarea constă
în **anularea primului
termen**.

$$\mathcal{V}(\theta) = \left\| \begin{bmatrix} r^1 \\ r^2 \end{bmatrix} - \begin{bmatrix} R \\ 0 \end{bmatrix}\theta \right\|^2 = \underbrace{\|r^1 - R\theta\|^2}_{0} + \underbrace{\|r^2\|^2}_{\gamma_N \hat{\lambda}^2}$$

$$\mathcal{V}(\theta) = \|QY - \begin{bmatrix} R \\ 0 \end{bmatrix}\theta\|^2$$

$$\begin{bmatrix} r_{11} & \cdots & r_{1(n\theta-1)} & r_{1n\theta} \\ \vdots & \ddots & \vdots & \vdots \\ 0 & \cdots & r_{(n\theta-1)(n\theta-1)} & r_{(n\theta-1)n\theta} \\ 0 & \cdots & 0 & r_{n\theta n\theta} \end{bmatrix} \begin{bmatrix} \hat{\theta}_1 \\ \vdots \\ \hat{\theta}_{n\theta-1} \\ \hat{\theta}_{n\theta} \end{bmatrix} = \begin{bmatrix} r^1 \\ \vdots \\ r^1_{n\theta-1} \\ r^1_{n\theta} \end{bmatrix}$$

⇒ Sistem compatibil și determinat, care se poate rezolva prin procedeul substituției înapoi (sau al “exfolierii”).

$$QY = \begin{bmatrix} r^1 \in \mathbb{R}^{n\theta} \\ r^2 \in \mathbb{R}^{N-n\theta} \end{bmatrix}$$

⇒ Segmentare sugerată de forma operatorului aplicat lui θ .

$$\hat{\theta}_{n\theta} = \frac{r^1_{n\theta}}{r_{n\theta n\theta}}$$

$$\hat{\theta}_{n\theta-1} = \frac{r^1_{n\theta-1} - r_{(n\theta-1)n\theta} \hat{\theta}_{n\theta}}{r_{(n\theta-1)(n\theta-1)}}$$

$$\dots \hat{\theta}_1 = \frac{r^1_1 - r_{12} \hat{\theta}_2 - \cdots - r_{1n\theta} \hat{\theta}_{n\theta}}{r_{11}}$$

$O \sim n\theta^2$

248

4 Metode de identificare și validare

4.9 Metode adaptive de identificare

MCMMP-R bazată pe descompunerea QR (continuare)



Se pleacă de la contextul curent definit pentru pasul $k-1 \geq n\theta$.

$$\Phi_{k-1} \stackrel{\text{def}}{=} \begin{bmatrix} \Phi^T[1] \\ \Phi^T[2] \\ \vdots \\ \Phi^T[k-1] \end{bmatrix} \in \mathbb{R}^{(k-1) \times n\theta}$$

→ Matricea curentă a regresorilor.

$\mathbf{Y}_{k-1} \in \mathbb{R}^{k-1}$ → Vectorul curent al datelor de ieșire măsurate.

$\hat{\boldsymbol{\theta}}_{k-1} \in \mathbb{R}^{n\theta}$ → Vectorul curent al parametrilor estimati.

$\hat{\lambda}_{k-1}^2$ → Dispersia curent estimată a zgomotului alb.

$$\mathbf{Q}_{k-1} \Phi_{k-1} = \begin{bmatrix} \mathbf{R}_{k-1} \\ \mathbf{0} \end{bmatrix} \in \mathbb{R}^{n\theta \times n\theta}$$

→ Descompunerea QR a matricii curente a regresorilor.

$$\mathbf{Q}_{k-1} \mathbf{Y}_{k-1} = \begin{bmatrix} \mathbf{r}_{k-1}^1 \\ \vdots \\ \mathbf{r}_{k-1}^2 \end{bmatrix} \in \mathbb{R}^{k-n\theta-1}$$

→ Segmentarea curentă, în vederea minimizării.

- La pasul următor se adaugă datele: $y[k]$ $\Phi[k]$

$$\Phi_k = \begin{bmatrix} \Phi_{k-1} \\ \vdots \\ \Phi^T[k] \end{bmatrix}$$

$$\mathbf{Y}_k = \begin{bmatrix} \mathbf{Y}_{k-1} \\ \vdots \\ y[k] \end{bmatrix}$$



Relații recurente evidente.

4 Metode de identificare și validare

4.9 Metode adaptive de identificare

MCMMP-R bazată pe descompunerea QR (continuare)

Reactualizarea descompunerii QR se bazează pe matricea \mathbf{Q}_{k-1} bordată.

$$\mathbf{Q}_k^{k-1} \stackrel{\text{def}}{=} \begin{bmatrix} \mathbf{Q}_{k-1} & \mathbf{0} \\ \hline \mathbf{0} & 1 \end{bmatrix} \in \mathbb{R}^{k \times k}$$

$$\mathbf{Q}_k^{k-1} \Phi_k = \begin{bmatrix} \mathbf{Q}_{k-1} & \mathbf{0} \\ \hline \mathbf{0} & 1 \end{bmatrix} \begin{bmatrix} \Phi_{k-1} \\ \Phi^T[k] \end{bmatrix} = \begin{bmatrix} \mathbf{Q}_{k-1} \Phi_{k-1} \\ \hline \Phi^T[k] \end{bmatrix} = \begin{bmatrix} \mathbf{R}_{k-1} \\ \hline \mathbf{0} \\ \hline \Phi^T[k] \end{bmatrix}$$

⇒ O mare parte a efectului dorit fiind realizată, doar ultima linie mai trebuie anulată.

$$\mathbf{G}_k^j \stackrel{\text{def}}{=} \begin{bmatrix} \mathbf{I}_{j-1} & \mathbf{0} & \mathbf{0} & \cdots & \mathbf{0} & \mathbf{0} \\ \hline \mathbf{0} & c_{kj} & 0 & \cdots & 0 & s_{kj} \\ \mathbf{0} & 0 & 1 & \cdots & 0 & 0 \\ \vdots & \vdots & \vdots & \ddots & \vdots & \vdots \\ \mathbf{0} & 0 & 0 & \cdots & 1 & 0 \\ \mathbf{0} & -s_{kj} & 0 & \cdots & 0 & c_{kj} \end{bmatrix} \in \mathbb{R}^{k \times k} \quad \forall j \in \overline{1, n\theta}$$

← poziția j (variabilă)
← poziția k (constantă)

Colecție de $n\theta$ operatori Givens elementari.

$$s_{kj} = \frac{\varphi_j[k]}{\sqrt{(r_{jj}^{k-1})^2 + \varphi_j^2[k]}}$$

$$c_{kj} = \frac{r_{jj}^{k-1}}{\sqrt{(r_{jj}^{k-1})^2 + \varphi_j^2[k]}}$$

$\forall j \in \overline{1, n\theta}$

Rezultă

$$\begin{aligned} \mathbf{Q}_k &= \mathbf{G}_k^1 \mathbf{G}_k^2 \cdots \mathbf{G}_k^{n\theta-1} \mathbf{G}_k^{n\theta} \mathbf{Q}_k^{k-1} = \\ &= \mathbf{G}_k^1 \mathbf{G}_k^2 \cdots \mathbf{G}_k^{n\theta-1} \mathbf{G}_k^{n\theta} \begin{bmatrix} \mathbf{Q}_{k-1} & \mathbf{0} \\ \hline \mathbf{0} & 1 \end{bmatrix} \begin{bmatrix} \mathbf{R}_k \\ \hline \mathbf{0} \\ \hline \mathbf{0} \end{bmatrix} = \mathbf{G}_k^1 \mathbf{G}_k^2 \cdots \mathbf{G}_k^{n\theta-1} \mathbf{G}_k^{n\theta} \begin{bmatrix} \mathbf{R}_{k-1} \\ \hline \mathbf{0} \\ \hline \Phi^T[k] \end{bmatrix} \end{aligned}$$

⇒ Descompunerea QR reactualizată.

4 Metode de identificare și validare

4.9 Metode adaptive de identificare

MCMMP-R bazată pe descompunerea QR (continuare)

Reactualizarea vectorilor liberi se bazează pe recurență din descompunerea QR.

$$\begin{bmatrix} \mathbf{r}_k^1 \\ \mathbf{r}_k^2 \end{bmatrix} = \mathbf{Q}_k \mathbf{Y}_k = \mathbf{G}_k^1 \mathbf{G}_k^2 \cdots \mathbf{G}_k^{n\theta-1} \mathbf{G}_k^{n\theta} \begin{bmatrix} \mathbf{Q}_{k-1} & \mathbf{0} \\ \mathbf{0} & 1 \end{bmatrix} \begin{bmatrix} \mathbf{Y}_{k-1} \\ y[k] \end{bmatrix} = \mathbf{G}_k^1 \mathbf{G}_k^2 \cdots \mathbf{G}_k^{n\theta-1} \mathbf{G}_k^{n\theta} \begin{bmatrix} \mathbf{r}_{k-1}^1 \\ \mathbf{r}_{k-1}^2 \\ \vdots \\ y[k] \end{bmatrix}$$

⇒ Uneori, nu este necesară determinarea vectorilor parametrilor la fiecare pas de reactualizare.

Altfel $\hat{\theta}_k = \mathbf{R}_k^{-1} \mathbf{r}_k^1$



Nu prin inversare, ci prin exfoliere.

Algoritmul adaptiv al Celor Mai Mici Pătrate cu descompunere QR



Date de intrare

$n\theta$ (indicele structural al modelului de identificare)

$\mathcal{D}_M = \{\phi[n]\}_{n \in \overline{1, n\theta}} \cup \{y[n]\}_{n \in \overline{1, n\theta}}$ (un set de date măsurate a priori)

⇒ Dimensiune egală cu indicele structural.



Inițializare

$\mathbf{Q}_{n\theta} \Phi_{n\theta} = \mathbf{R}_{n\theta} \in \mathbb{R}^{n\theta \times n\theta}$ → descompunere QR off-line

$\mathbf{r}_{n\theta}^1 = \mathbf{Q}_{n\theta} \mathbf{Y}_{n\theta} \in \mathbb{R}^{n\theta}$ $\mathbf{r}_{n\theta}^2 = [] \in \mathbb{R}^0$ → vectorii liberi inițiali (al doilea – vid)

$\hat{\theta}_{n\theta} = \mathbf{R}_{n\theta}^{-1} \mathbf{r}_{n\theta}^1$ → vectorul inițial al parametrilor (prin exfoliere)

$\hat{\lambda}_{n\theta}^2 = 0$ → dispersia inițială a zgomotului

$k = n\theta$ → indicele iterativ inițial

4 Metode de identificare și validare

4.9 Metode adaptive de identificare

MCMMP-R bazată pe descompunerea QR (continuare)

Algoritmul adaptiv al Celor Mai Mici Pătrate cu descompunere QR (continuare)



Bucă iterativă

① Pentru $k \geq n\theta + 1$

① Se evaluatează operatorii Givens elementari:

② Se evaluatează operatorul Givens global:

$$G_k = \prod_{j=1}^{n\theta} G_k^j$$

③ Se reactualizează operatorul ortogonal de triangularizare matricială:

$$G_k^j = \begin{bmatrix} I_{j-1} & 0 & 0 & \cdots & 0 & 0 \\ 0 & c_{kj} & 0 & \cdots & 0 & s_{kj} \\ 0 & 0 & 1 & \cdots & 0 & 0 \\ \vdots & \vdots & \vdots & \ddots & \vdots & \vdots \\ 0 & 0 & 0 & \cdots & 1 & 0 \\ 0 & -s_{kj} & 0 & \cdots & 0 & c_{kj} \end{bmatrix} \in \mathbb{R}^{k \times k}$$

$$\forall j \in 1, n\theta$$

$$s_{kj} = \frac{\varphi_j[k]}{\sqrt{(r_{jj}^{k-1})^2 + \varphi_j^2[k]}}$$

$$c_{kj} = \frac{r_{jj}^{k-1}}{\sqrt{(r_{jj}^{k-1})^2 + \varphi_j^2[k]}}$$

$$Q_k = G_k \begin{bmatrix} Q_{k-1} & 0 \\ \hline \hline 0 & 1 \end{bmatrix}$$

④ Se reactualizează matricea triunghiulară și vectorii liberi:

$$\begin{bmatrix} R_k \\ \hline \hline 0 \\ \hline \hline 0 \end{bmatrix} = G_k \begin{bmatrix} R_{k-1} \\ \hline \hline 0 \\ \hline \hline \Phi^T[k] \end{bmatrix}$$

$$\begin{bmatrix} r_k^1 \\ \hline \hline r_k^2 \\ \hline \hline y[k] \end{bmatrix} = G_k \begin{bmatrix} r_{k-1}^1 \\ \hline \hline r_{k-1}^2 \\ \hline \hline y[k] \end{bmatrix}$$

↓ Algoritm extrem de stabil din punct de vedere numeric.

⑤ Se reactualizează vectorul parametrilor și dispersia zgromotului:

$$\hat{\theta}_k = R_k^{-1} r_k^1$$

$$\hat{\lambda}_k^2 = \frac{1}{\gamma_k} \|r_k^2\|^2$$

⑥ Se incrementează indicele curent: $k \leftarrow k + 1$

$$\in \{N, N - n\theta\}$$



Date de ieșire

$$\{\hat{\theta}_k\}_{k \in \mathbb{N}}$$

Vectorii parametrilor modelului.

$$\{\hat{\lambda}_k^2\}_{k \in \mathbb{N}}$$

Dispersiile zgromotului.